

16. Гольдштик М. А., Штерн В. Н. Гидродинамическая устойчивость и турбулентность. — Новосибирск: Наука, 1977.
17. Davey A., Drazin P. G. The stability of Poiseuille flow in a pipe // J. Fluid Mech. — 1969. — V. 36, N 2.
18. Лихачёв О. А. Спектр малых возмущений течения в пограничном слое на плоской пластине // ПМТФ. — 1975. — № 4.
19. Слепцов А. Г. Оценки собственных значений при исследовании устойчивости пограничного слоя // ЧММСС. — 1974. — Т. 5, № 5.
20. Reynolds W. C., Hussain A. K. M. F. The mechanics of an organized wave in turbulent shear flow. Pt 3. Theoretical models and comparisons with experiments // J. Fluid Mech. — 1972. — V. 54, N 2.

г. Новосибирск

Поступила 22/XI 1988 г.,
в окончательном варианте — 13/III 1989 г.

УДК 536.25:533.9

C. H. Aristov, A. M. Pichugin

ТЕЧЕНИЕ И ТЕПЛООБМЕН В СЛОЕ ВЯЗКОЙ ПРОВОДЯЩЕЙ ЖИДКОСТИ МЕЖДУ ВРАЩАЮЩИМИСЯ ПЛАСТИНАМИ С ГОРИЗОНТАЛЬНЫМИ ГРАДИЕНТАМИ ТЕМПЕРАТУРЫ В ПОПЕРЕЧНОМ МАГНИТНОМ ПОЛЕ

С развитием технологии и интенсификацией астрофизических и геофизических исследований, в которых тепловая конвекция играет существенную роль, актуальны исследования конвекции во вращающихся слоях непроводящей [1, 2] и электропроводящей жидкости с учетом поперечного магнитного поля [3]. Как правило, не учитывается наличие горизонтальных градиентов температуры, обычно имеющих место в реальных задачах и часто являющихся основной причиной движения [4]. Самый простой случай конвекции в слое, вызванный горизонтальным градиентом температуры, без учета вращения и магнитного поля исследован в [5].

Рассматривается бесконечный горизонтальный слой вязкой проводящей жидкости толщиной D , ограниченный проводящими пластинами, на которых поддерживаются разные произвольно ориентированные в плоскости слоя постоянные градиенты температуры. Слой вращается с постоянной угловой скоростью $f/2$ относительно оси z , направленной поперек слоя. По оси z приложено постоянное магнитное поле B_0 и вектор ускорения свободного падения — g . В приближении Буссинеска уравнения движения во вращающейся системе координат, связанной с границами слоя, имеют вид [4]

$$\begin{aligned} \partial \mathbf{v} / \partial t + (\mathbf{v} \nabla) \mathbf{v} &= -\nabla p + (\mathbf{B} \nabla) \mathbf{B} + \nu \Delta \mathbf{v} - \mathbf{f} \times \mathbf{v} + g \alpha T, \\ \partial \mathbf{B} / \partial t + (\mathbf{v} \nabla) \mathbf{B} &= (\mathbf{B} \nabla) \mathbf{v} + \nu_m \Delta \mathbf{B}, \partial T / \partial t + (\mathbf{v} \nabla) T = \chi \Delta T, \\ \operatorname{div} \mathbf{v} &= 0, \operatorname{div} \mathbf{B} = 0, \end{aligned}$$

где в давлении p учтены гидростатическая, магнитная и центробежная составляющие; \mathbf{B} — магнитное поле, приведенное к размерности скорости; α — коэффициент температурного расширения жидкости; $\nu_m = 1/\sigma \mu_0$ — коэффициент магнитной вязкости. Остальные обозначения общепринятые.

Для обезразмеривания в качестве единиц длины, времени, скорости, температуры, давления и магнитного поля выбраны соответственно D , D^2/ν , $g \alpha A_1 D^3/\nu$ (A_1 — градиент температуры на нижней плоскости), $A_1 D$, $g \alpha A_1 D^2$ (здесь учитывается то, что давление уже нормировано по плотности), B_0 . Обезразмеренная система записывается как

$$(1) \quad \begin{aligned} \partial \mathbf{v} / \partial t + \mathbf{G}(\mathbf{v} \nabla) \mathbf{v} &= -\nabla p + \Delta \mathbf{v} + \mathrm{Ha}^2 \mathbf{G}^{-1} \beta^{-1} (\mathbf{B} \nabla) \mathbf{B} - \mathrm{Ta}^{1/2} (\gamma \times \\ &\times \mathbf{v}) + \gamma T, \\ \partial \mathbf{B} / \partial t + \mathbf{G}(\mathbf{v} \nabla) \mathbf{B} &= \mathbf{G}(\mathbf{B} \nabla) \mathbf{v} + \beta^{-1} \Delta \mathbf{B}, \\ \partial T / \partial t + \mathbf{G}(\mathbf{v} \nabla) T &= \mathrm{Pr}^{-1} \Delta T, \operatorname{div} \mathbf{v} = 0, \operatorname{div} \mathbf{B} = 0 \end{aligned}$$

(числа $G = g\alpha A_1 D^4/v^2$ — Грасгофа, $\text{Ha} = B_0 D / \sqrt{\nu v_m}$ — Гартмана, $\text{Ta} = (fD^2/v)^2$ — Тейлора, $\text{Pr} = v/\chi$ — Прандтля, $\hat{\beta} = v/v_m$ — Бэтчелора; γ — единичный вектор, направленный вдоль оси z).

Постановка задачи приводит к следующим граничным условиям: для скорости

$$v_x = v_y = v_z = 0 \text{ при } z = 0, 1, \quad \int_0^1 v_x dz = Q, \quad \int_0^1 v_y dz = 0;$$

для температуры

$$\begin{aligned} T &= x \cos \varphi_1 + y \sin \varphi_1 \text{ при } z = 0, \\ T &= A(x \cos \varphi_2 + y \sin \varphi_2) + T_0 \text{ при } z = 1; \end{aligned}$$

для магнитного поля [3, 6]

$$\begin{aligned} \sigma_1 \lambda_1 (dB_{x,y}/dz) - \sigma B_{x,y} &= 0 \text{ при } z = 0, \\ \sigma_2 \lambda_2 (dB_{x,y}/dz) + \sigma B_{x,y} &= 0 \text{ при } z = 1, \end{aligned}$$

где углы φ_1, φ_2 отсчитываются от оси x и задают в плоскости xy направления градиентов температуры на нижней и верхней плоскости соответственно; $A = A_2/A_1$ — отношение верхнего градиента температуры к нижнему; $\sigma_1, \lambda_1, \sigma_2, \lambda_2$ — электропроводимости и толщины нижней и верхней пластины; σ — электропроводимость жидкости; Q — расход по сечению слоя в направлении оси x .

Для нахождения решения скорость и магнитное поле представляются как функции, зависящие только от поперечной координаты z . Это позволяет существенно упростить систему уравнений (1) и получить стационарные точные решения системы для скорости, магнитного поля и температуры, удовлетворяющие всем граничным условиям.

Точное решение для скорости имеет вид

$$v_{x,y} = V_{x,y} + 2u_{x,y}z + w_{x,y}, \quad v_z = 0.$$

Здесь $V_{x,y}$ — постоянные интегрирования, определяемые из интегральных условий, наложенных на скорость:

$$V_{x,y} = R_{x,y}/R, \quad R = 1 + 4(k_1 \gamma_1 - k_2 \gamma_2) + 4(k_1^2 + k_2^2)(\gamma_1^2 + \gamma_2^2),$$

$$\begin{aligned} R_x &= (Q - \bar{u}_x)(1 + 2(k_1 \gamma_1 - k_2 \gamma_2)) + 2\bar{u}_y(k_1 \gamma_2 + k_2 \gamma_1) - \\ &- 2u_x(1)[(k_1 \gamma_1 - k_2 \gamma_2) + 2(k_1^2 + k_2^2)(\gamma_1^2 + \gamma_2^2)] - 2u_y(1)(k_1 \gamma_2 + k_2 \gamma_1), \end{aligned}$$

$$\begin{aligned} R_y &= (Q - \bar{u}_x)2(k_1 \gamma_2 + k_2 \gamma_1) - \bar{u}_y(1 + 2(k_1 \gamma_1 - k_2 \gamma_2)) + \\ &+ 2u_x(1)(k_1 \gamma_2 + k_2 \gamma_1) - 2u_y(1)[(k_1 \gamma_1 - k_2 \gamma_2) + 2(k_1^2 + k_2^2)(\gamma_1^2 + \gamma_2^2)], \end{aligned}$$

$$\begin{aligned} \bar{u}_{x,y} &= \int_0^1 u_{x,y} dz, \quad \gamma_{1,2} = 2(\epsilon_{1,2} - \epsilon_{5,4})/(\text{Ta} + \text{Ha}^4)^{1/2}, \quad k_{1,2} = \\ &= [\pm \text{Ha}^2 + (\text{Ta} + \text{Ha}^4)^{1/2}]^{1/2}/\sqrt{2}, \end{aligned}$$

$$\epsilon = 2 \operatorname{ch}(2k_1) - 2 \cos(2k_2), \quad \epsilon \epsilon_1 = 2 \operatorname{sh} k_1 \cos k_2, \quad \epsilon \epsilon_2 = 2 \operatorname{ch} k_1 \sin k_2,$$

$$\epsilon \epsilon_3 = \exp(2k_1) - \cos(2k_2), \quad \epsilon \epsilon_4 = \sin(2k_2), \quad \epsilon \epsilon_5 = \operatorname{sh}(2k_1),$$

$$u_x = -[\text{Ha}^2((\partial T/\partial x) + \cos \varphi_1) + \text{Ta}^{1/2}((\partial T/\partial y) + \sin \varphi_1)]/[4(\text{Ta} + \text{Ha}^4)],$$

$$u_y = -[\text{Ha}^2((\partial T/\partial y) + \sin \varphi_1) - \text{Ta}^{1/2}((\partial T/\partial x) + \cos \varphi_1)]/[4(\text{Ta} + \text{Ha}^4)],$$

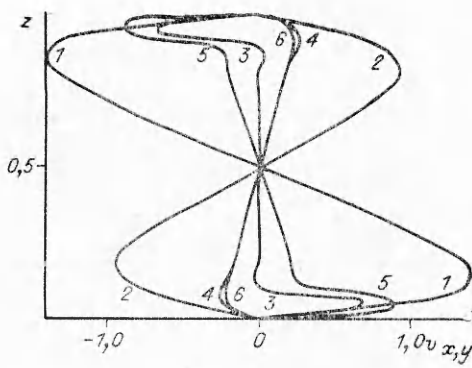
$$\partial T/\partial x = (A \cos \varphi_2 - \cos \varphi_1)z + \cos \varphi_1,$$

$$\partial T/\partial y = (A \sin \varphi_2 - \sin \varphi_1)z + \sin \varphi_1,$$

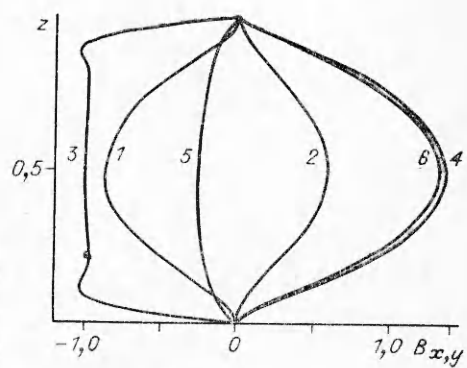
$$\begin{aligned} w_{x,y} &= \exp[-k_1(1-z)][C_{1,2} \cos k_2(1-z) + C_{2,1} \sin k_2(1-z)] + \\ &+ \exp[-k_1 z][C_{3,4} \cos k_2 z + C_{4,3} \sin k_2 z], \end{aligned}$$

$$C_{1,2} = V_{x,y}(\epsilon_1 - \epsilon_3) \pm V_{y,x}(\epsilon_2 - \epsilon_4) - 2u_{x,y}(1)\epsilon_3 + 2u_{y,x}(1)\epsilon_4,$$

$$C_{3,4} = V_{x,y}(\epsilon_1 - \epsilon_3) \pm \bar{V}_{y,x}(\epsilon_2 - \epsilon_4) + 2u_{x,y}(1)\epsilon_1 \pm 2u_{y,x}(1)\epsilon_2.$$



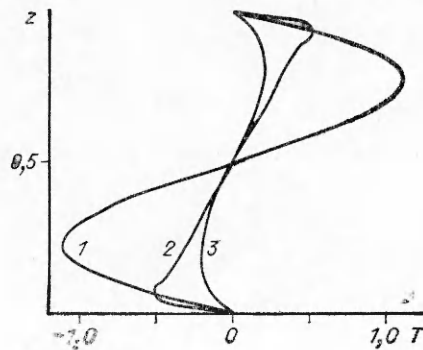
Р и с. 1



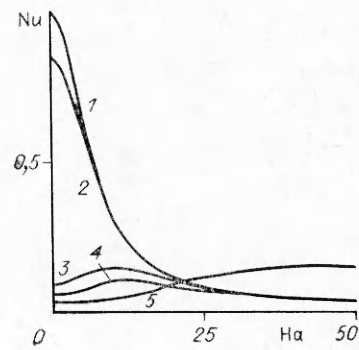
Р и с. 2

Решения для магнитного поля и температуры легко найти, подставляя выражение для скорости в уравнения [7]. В данной работе полученные выражения для магнитного поля и температуры не приводятся ввиду своей громоздкости. В соответствующих предельных случаях они переходят в известные решения Бириха [5] ($\text{Ha} = \text{Ta} = \varphi_1 = \varphi_2 = 0$, $A = 1$), Экмана ($G = \text{Ha} = 0$), Гартмана ($G = \text{Ta} = 0$), при $G = 0$ переходят в решения из [3].

Свойства точного решения рассматриваются на примере ртути при $T \sim 300$ К, алюминия при $T \sim 900-1000$ К, натрия при $T \sim 370$ К. Все графики построены при $Q = \varphi_1 = \varphi_2 = 0$, $A = 1$, толщина слоя принималась равной 1 см. Числа Грасгофа каждого вещества вычисляются для градиента температуры, равного 1 К/м. В выражении для скорости два первых слагаемых формируют ядро течения, третье отвечает за пограничный. Это хорошо видно на рис. 1, где приводятся профили x -й (нечетные номера) и y -й (четные номера) компонент скорости для ртути. Профили 1 — $v_x \cdot 10^2$, 2 — $v_y \cdot 10^5$ рассчитаны при $\text{Ta} = 3,04$, $\text{Ha} = 14,5$, что соответствует угловой скорости вращения 0,001 об/с и напряженности магнитного поля 50 А/м. Ядро течения линейно зависит от поперечной координаты z , толщина пограничного слоя стремится к нулю при увеличении магнитного поля, y -е компоненты скорости появляются только благодаря вращению и существенно зависят от Ta . Профили 3 — $v_x \cdot 10^4$, 4 — $v_y \cdot 10^3$ вычислены при $\text{Ta} = 3,04 \cdot 10^6$, $\text{Ha} = 0,029$ (1 об/с, 0,1 А/м) (случай слабого магнитного поля и сильного вращения). В ядре жидкость практически неподвижна, видна периодическая смена направления скорости с затухающей к центру интенсивностью течения. Хорошо видны Экмановские пограничные слои, толщина которых стремится к нулю при увеличении Ta . Для y -й компоненты характерна линейная зависимость профиля ядра течения от поперечной координаты. Профили 5 — $v_x \cdot 10^4$, 6 — $v_y \cdot 10^3$ получены при $\text{Ta} = 3,04 \cdot 10^6$, $\text{Ha} = 14,5$ (случай сильного поля и сильного вращения). На профиле x -й компоненты скорости хорошо



Р и с. 3



Р и с. 4

прослеживается влияние обоих факторов, виден линейный профиль ядра и Экмаповские пограничные слои.

На рис. 2 представлены профили x -х и y -х компонент магнитного поля: 1 — $B_x \cdot 10^7$, 2 — $B_y \cdot 10^9$, 3 — $B_x \cdot 10^9$, 4 — $B_y \cdot 10^7$, 5 — $B_x \cdot 10^8$, 6 — $B_y \cdot 10^7$. Номера профилей соответствуют тем же числам Гартмана и Тейлора, что и номера профилей скорости. Наиболее интересен случай сильного вращения и слабого магнитного поля — профиль 3. Плоский профиль на профиле x -й компоненты магнитного поля говорит о практически неподвижном ядре течения.

На рис. 3 показаны профили температуры при тех же параметрах, что и профили скорости и магнитного поля.

Интересно рассмотреть изменение теплопотока через границу слоя в зависимости от вращения и поперечного магнитного поля. Для исследования теплообмена через границу слоя определим локальное число Нуссельта Nu в точке с координатами x , y , z как отношение безразмерного градиента температуры поперек слоя к поперечному градиенту при отсутствии вращения и магнитного поля: $Nu = (\partial T / \partial z) / (\partial T / \partial z)|_{Ha, Ta=0}$ (Nu зависит от Q , G , Pr , Ha , Ta).

На рис. 4 представлена зависимость Nu на границе при $x = y = z = 0$ от G при различных Ta для разных веществ. Кривая 1 соответствует зависимостям Nu для алюминия и натрия при $Ta = 2,7$ и $Ta = 5,2$ ($0,01 \text{ об/с}$), 2 — ртути при $Ta = 304$ ($0,01 \text{ об/с}$), 3 — алюминия при $Ta = 2,7 \cdot 10^4$ (1 об/с), 4 — натрия при $Ta = 5,2 \cdot 10^4$ (1 об/с), 5 — Nu · 10 — ртути при $Ta = 3,04 \cdot 10^6$ (1 об/с). Видно, что интенсивность теплопотока при слабом вращении сильно уменьшается с увеличением магнитного поля. При сильном вращении наблюдается смещение максимума теплопотока в сторону сильных магнитных полей. С увеличением магнитного поля теплопоток стремится к одному пределу, не зависящему от Ta .

На рис. 5 показана зависимость поперечного градиента температуры по сечению слоя для жидкого натрия. В случае равных градиентов температуры на границах интегральный теплопоток поперек слоя равен нулю при любых G и Ta . Все кривые симметричны относительно середины слоя. Номера кривых отвечают параметрам: 1 — $(\partial T / \partial z) \cdot 10^3$, $Ta = Ha = 0$; 2 — $(\partial T / \partial z) \cdot 10^3$, $Ta = 5,2$, $Ha = 5$; 3 — $(\partial T / \partial z) \cdot 10^4$, $Ta = 5,2$, $Ha = 50$; 4 — $(\partial T / \partial z) \cdot 10^4$, $Ta = 5,2 \cdot 10^4$, $Ha = 1$; 5 — $(\partial T / \partial z) \times 10^4$, $Ta = 5,2 \cdot 10^4$, $Ha = 10$; 6 — $(\partial T / \partial z) \cdot 10^4$, $Ta = 5,2 \cdot 10^4$, $Ha = 50$.

По графикам видно, что малым изменениям G , особенно для малых Ta , характерны большие изменения Nu. Таким образом возможно управление теплопотоком на границе слоя. Данная особенность исследуемой задачи обусловлена быстрой перестройкой пограничных слоев течения при малых изменениях G и Ta .

ЛИТЕРАТУРА

1. Hathaway D., Somerville R. Nonlinear interactions between convection, rotation and flows with vertical shear // J. Fluid Mech.—1986.—V. 164.—P. 91—105.
2. Hathaway D., Somerville R. Thermal convection in a rotating shear flow // Geophys. Astrophys. Fluid Dynamics.—1987.—V. 38.—P. 43—68.
3. Soundalgekar V. M., Bhat J. P. MHD flow and heat transfers in a viscous electrically conducting fluid in a rotating channel between conducting plates // Appl. Energy.—1985.—V. 20, N 2.
4. Мофрат Г. Возбуждение магнитного поля в проводящей среде.—М.: Мир, 1980.
5. Бирюк Р. В. О термокапиллярной конвекции в горизонтальном слое жидкости // ПМТФ.—1966.—№ 3.

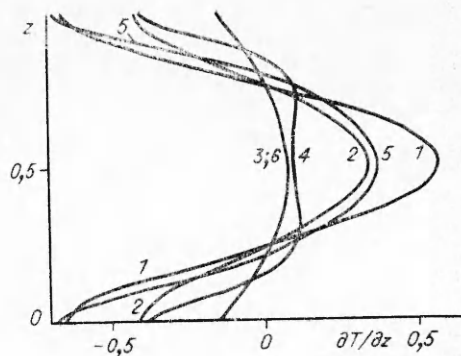


Рис. 5

6. Shercliff J. A. The flow of conducting fluids in circular pipes under transverse magnetic fields // J. Fluid Mech.—1956.—V. 1, N 6.
7. Аристов С. Н., Пичугин А. М. МГД-течения и теплообмен во вращающихся слоях вязкой жидкости с горизонтальным градиентом температуры в поперечном магнитном поле.—Пермь, 1987.—Деп. в ВИНИТИ 09.10.87, № 7183—B87.

г. Пермь

Поступила 6/XII 1987 г.,
в окончательном варианте — 6/III 1989 г.

УДК 532.546

Ш. А. Ершин, У. К. Жапбасбаев, М. Ш. Кулымбаева, Л. Г. Хадиева

ИССЛЕДОВАНИЕ АЭРОДИНАМИКИ АППАРАТОВ С НЕПОДВИЖНЫМ ЗЕРНИСТЫМ СЛОЕМ

В технологических процессах наиболее широкое применение получили реакторы вытеснения с неподвижным зернистым слоем (НЗС) и аппараты с радиальным подводом потока с Z- и П-образными схемами течения. В связи с тем, что распределение реагирующей смеси в зернистом слое определяется общей аэродинамической обстановкой в аппарате, точное решение задачи требует рассмотрения соответствующих систем уравнений движения в свободных частях аппарата и внутри НЗС. Гидродинамические модели таких реакторов, базирующихся на теории идеальной жидкости [1—3], основаны на совместном рассмотрении системы уравнений Эйлера с линейным или нелинейным законом Дарси. Расчет строится в каждой области отдельно с удовлетворением условий сопряжения на границах раздела сред и позволяет определить поле скорости и давления при заданном распределении завихренности во входном сечении [2]. Как показывают эксперименты, в свободных частях аппаратов с НЗС имеют место отрывные явления и застойные зоны [4], которые не описываются в рамках модели идеальной жидкости. Эти явления оказывают влияние на распределение потока в НЗС и могут быть объяснены исходя из теории вязкой жидкости. Модель вязкой жидкости в пористых средах рассмотрена во многих исследованиях. В частности, в [5] проведено изучение движения вязкой жидкости в трубе с гранулированным наполнителем и дано объяснение появления макроскопических неоднородностей в профилях скорости из-за повышения порозности слоя вблизи стенки. Однако расчеты аппаратов с НЗС не проводились. Ниже изложены некоторые результаты исследования аэродинамики реакторов с НЗС на основе теории вязкой жидкости.

1. Постановка задачи. Рассматривается стационарное плоское течение вязкой несжимаемой жидкости в аппаратах с НЗС. Области течения до и после зернистого слоя обозначаются через G_1 и G_3 , в зернистом слое — G_2 (рис. 1). Если воспользоваться методом осреднения по жидкой фазе локального объема пористой среды [6, 7], то систему уравнений движения и неразрывности можно записать в единой форме, справедливой для всей области течения G :

$$(1.1) \quad u \frac{\partial u}{\partial x} + v \frac{\partial u}{\partial y} = - \frac{\partial p}{\partial x} + \frac{h}{Re} \left[2 \frac{\partial^2 u}{\partial x^2} + \frac{\partial}{\partial y} \left(\frac{\partial v}{\partial x} + \frac{\partial u}{\partial y} \right) \right] - \zeta u;$$

$$(1.2) \quad u \frac{\partial v}{\partial x} + v \frac{\partial v}{\partial y} = - \frac{\partial p}{\partial y} + \frac{h}{Re} \left[2 \frac{\partial^2 v}{\partial y^2} + \frac{\partial}{\partial x} \left(\frac{\partial v}{\partial x} + \frac{\partial u}{\partial y} \right) \right] - \zeta v;$$

$$(1.3) \quad \frac{\partial \epsilon u}{\partial x} + \frac{\partial \epsilon v}{\partial y} = 0,$$

где ϵ — порозность слоя; $\zeta = 150(1 - \epsilon)^2 DL / (\epsilon^2 d_3^2 Re)$; $h = D/L$; $Re = u_0 D / v$; D — половина высоты входного сечения; L — характерный размер.

В областях G_1 и G_3 ($\epsilon = 1$) система (1.1)–(1.3) является уравнениями Навье — Стокса, а в G_2 ($\epsilon < 1$) она описывает движение вязкой жидкости в изотропной пористой среде. Пренебрежение в (1.1)–(1.3) инерционными членами в G_2 приводит к модели Бринкмана [8], а вязкостными членами — к динамической модели [9].